

## ДО ПИТАННЯ ЩОДО ВПЛИВУ В'ЯЗКОГО НАПОВНЮВАЧА НА РУХ ТІЛА, ЩО ЗНАХОДИТЬСЯ В РЕЖИМІ ПРЕЦЕСІЙ

**I. M. Гураль<sup>1</sup>, Ю. А. Наквасюк<sup>2</sup>**

<sup>1</sup>*Івано-Франківський національний технічний університет нафти і газу;  
76019, м. Івано-Франківськ, вул. Карпатська, 15;*

*e-mail: math@nunig.edu.ua*

<sup>2</sup>*Київський національний університет імені Тараса Шевченка;  
01033, м. Київ, вул. Володимирська 64;  
e-mail: nakvasiuk.iuliia@gmail.com*

*Розглядається задача визначення усталеного відносного руху в'язкої нестисливої рідини, яка повністю заповнює довгув циліндричну посудину, що здійснює регулярну прецесію з малим кутом нутації і/або з малим відношенням кутової швидкості прецесії до кутової швидкості власного обертання. Отримано вищі наближення розкладу за малим параметром розв'язку нелінійних рівнянь Нав'є-Стокса та проекції на вісь циліндра моменту сил, що діють на бічу поверхню посудини зі сторони рідини.*

**Ключові слова:** в'язка нестислива рідина, регулярна прецесія.

**1. Вступ.** Задачі динаміки тіл з рідким наповнювачем давно привертають увагу дослідників. Поштовхом для багатьох досліджень в цій області стали задачі, які пов'язані з розвитком літальних апаратів, що містять рідкі маси, теорією руху кораблів, проектуванням гіроскопічних приладів, центрифуг та інших технічних об'єктів.

У деяких прикладних задачах виникає необхідність дослідження динаміки в'язкої рідини всередині порожнини та оцінки впливу рідини на рух тіла, що знаходиться в режимі регулярної прецесії. Короткий огляд таких робіт для циліндричних порожнин можна знайти в [1-3]. Міллер в [1] експериментально вимірював момент сил, що діють на тіло зі сторони в'язкої рідини. В [2] аналітично описано поле швидкостей відносного руху рідини для лінеаризованої задачі: не дорівнює нулю тільки проекція швидкості на вісь циліндра. Також в [2] за допомогою теореми про зміну моменту кількості руху відносно початку координат обчислено проекцію на вісь циліндра моменту в'язких сил, що діють на циліндр, і вона є величиною малою другого порядку. В [4] показано, що відповідний відносний рух рідини описується другим наближенням для розв'язку нелінійних рівнянь Нав'є-Стокса.

У даній роботі отримано вищі наближення розкладу за малим параметром розв'язку нелінійних рівнянь Нав'є-Стокса та проекції на вісь

циліндра моменту сил, що діють на бічну поверхню посудини зі сторони рідини.

**2. Постановка задачі.** Розглядається усталений рух нестисливої рідини густини  $\rho$  та в'язкості  $\mu$  всередині прямого кругового циліндра радіуса  $a$  і довжини  $2c$ . Рідина повністю заповнює циліндр, який обертається з кутовою швидкістю  $\omega$  навколо своєї осі симетрії  $z$  і обертається з кутовою швидкістю  $\Omega$  навколо нерухомої осі  $Z$ , що проходить через центр мас  $O$  і утворює з віссю  $z$  сталій кут нутації  $\theta$ . Введемо систему координат  $xyz$ , де вісь  $x$  лежить в площині  $Zz$ .

В якості характерних величин довжини, часу і густини використаємо  $a$ ,  $\omega^{-1}$ ,  $\rho$ .

В циліндричних координатах  $r, \varphi, z$  рівняння руху рідини для безрозмірних компонент  $u, v, w$  відхилення швидкості  $\vec{V}_e$  від обертання як абсолютно твердого тіла були отримані в [2] і з точністю до позначень мають вигляд

$$\left\{ \begin{array}{l} D'u - \frac{v^2}{r} - 2\tau v + 2\varepsilon w \sin \varphi = -\frac{\partial p}{\partial r} + \frac{1}{Re} \left( D''u - \frac{u}{r^2} - \frac{2}{r^2} \frac{\partial v}{\partial \varphi} \right), \\ D'v + \frac{uv}{r} + 2\tau u + 2\varepsilon w \cos \varphi = -\frac{1}{r} \frac{\partial p}{\partial \varphi} + \frac{1}{Re} \left( D''v - \frac{v}{r^2} + \frac{2}{r^2} \frac{\partial u}{\partial \varphi} \right), \\ Dw - 2\varepsilon v \cos \varphi - 2\varepsilon u \sin \varphi - 2\varepsilon r \cos \varphi = -\frac{\partial p}{\partial z} + \frac{1}{Re} D''w, \\ \frac{\partial u}{\partial r} + \frac{u}{r} + \frac{1}{r} \frac{\partial v}{\partial \varphi} + \frac{\partial w}{\partial z} = 0, \end{array} \right. \quad (1)$$

де

$$D' = \frac{\partial}{\partial \varphi} + u \frac{\partial}{\partial r} + \frac{v}{r} \frac{\partial}{\partial \varphi} + w \frac{\partial}{\partial z}, \quad D'' = \frac{\partial^2}{\partial r^2} + \frac{1}{r} \frac{\partial}{\partial r} + \frac{1}{r^2} \frac{\partial}{\partial \varphi} + \frac{\partial^2}{\partial z^2},$$

$$\varepsilon = \frac{\Omega}{\omega} \sin \theta, \quad \tau = 1 + \frac{\Omega}{\omega} \cos \theta, \quad Re = \frac{\omega a^2 \rho}{\mu},$$

$$p = P - \frac{1}{2} \left( \varepsilon^2 r^2 \sin^2 \varphi + r^2 \tau^2 + \varepsilon^2 z^2 + 2\varepsilon(\tau - 1)rz \cos \varphi \right).$$

Границні умови наступні:

$$r = 1: \quad u = 0, v = 0, w = 0;$$

$$r = \pm \lambda \quad (\lambda = \frac{c}{a}): \quad u = 0, v = 0, w = 0.$$

Як і в [2] приймемо, що видовження порожнини велике і що вплив торців буде суттєвим тільки на відстані порядку  $O(1)$  від торців. Тому, опустимо граничні умови на торцях і будемо шукати усталений розв'язок на скінченному відрізку немов би нескінченного циліндра.

**3. Розклад за параметром  $\varepsilon$ .** Приймемо, що  $\varepsilon$  – мала величина і подамо розв'язок системи (1) у вигляді розкладу за параметром  $\varepsilon$ :

$$\vec{V}_\varepsilon = \sum_{n=1}^{\infty} \varepsilon^n \vec{V}_\varepsilon^{(n)}, \quad p = \sum_{n=1}^{\infty} \varepsilon^n p^{(n)}. \quad (2)$$

В роботі [2] знайдені  $u^{(1)} = 0$ ,  $v^{(1)} = 0$ ,  $p^{(1)} = 0$ ,

$$w^{(1)}(r, \varphi) = w_1(r) \cos \varphi + w_2(r) \sin \varphi,$$

де  $w_1$  і  $w_2$  – відповідно уявна і дійсна частини комплексної функції  $W_1 = w_2 + i w_1$ , яка дорівнює  $W_1(r) = 2r - 2 \frac{I_1(qr)}{I_1(q)}$ , де  $I_1(qr)$  – модифікована функція Бесселя першого порядку комплексного аргументу  $qr \left( q = (1+i) \sqrt{\frac{Re}{2}} \right)$ .

Підставимо (2) в рівняння (1) і прирівняємо коефіцієнти при  $\varepsilon^2$ , одержимо

$$\left\{ \begin{array}{l} \frac{\partial u^{(2)}}{\partial \varphi} - 2\tau v^{(2)} + 2w^{(1)} \sin \varphi = -\frac{\partial p^{(2)}}{\partial r} + \frac{1}{Re} \left( D'' u^{(2)} - \frac{u^{(2)}}{r^2} - \frac{2}{r^2} \frac{\partial v^{(2)}}{\partial \varphi} \right) \\ \frac{\partial v^{(2)}}{\partial \varphi} + 2\tau u^{(2)} + 2w^{(1)} \cos \varphi = -\frac{1}{r} \frac{\partial p^{(2)}}{\partial \varphi} + \frac{1}{Re} \left( D'' v^{(2)} - \frac{v^{(2)}}{r^2} + \frac{2}{r^2} \frac{\partial u^{(2)}}{\partial \varphi} \right) \\ \frac{\partial w^{(2)}}{\partial \varphi} = -\frac{\partial p^{(2)}}{\partial z} + \frac{1}{Re} D'' w^{(2)}, \\ \frac{\partial u^{(2)}}{\partial r} + \frac{u^{(2)}}{r} + \frac{1}{r} \frac{\partial v^{(2)}}{\partial \varphi} + \frac{\partial w^{(2)}}{\partial z} = 0. \end{array} \right. \quad (3)$$

$$r = 1: \quad u^{(2)} = 0, \quad v^{(2)} = 0, \quad w^{(2)} = 0.$$

Виходячи із структури неоднорідностей, які входять в рівняння системи, розв'язок (3) шукатимемо у вигляді

$$\left\{ \begin{array}{l} u^{(2)}(r, \varphi) = u_1(r) \cos 2\varphi + u_2(r) \sin 2\varphi + u_3(r), \\ v^{(2)}(r, \varphi) = v_1(r) \cos 2\varphi + v_2(r) \sin 2\varphi + v_3(r), \\ w^{(2)}(r, \varphi) = 0, \\ p^{(2)}(r, \varphi) = p_1(r) \cos 2\varphi + p_2(r) \sin 2\varphi + p_3(r). \end{array} \right. \quad (4)$$

Підставимо (4) в (3), одержимо наступні системи для визначення функцій

$$U(r) = u_2(r) + i u_1(r), \quad V(r) = v_2(r) + i v_1(r), \quad P(r) = p_2(r) + i p_1(r), \quad u_3(r), \quad v_3(r), \quad p_3(r)$$

$$\begin{cases} 2iU - 2\tau V - iW_1 = -P' + \frac{1}{Re} \left( U'' + \frac{1}{r} U' - \frac{5}{r^2} U - \frac{4i}{r^2} V \right), \\ 2iV + 2\tau U + W_1 = -\frac{2i}{r} P + \frac{1}{Re} \left( V'' + \frac{1}{r} V' - \frac{5}{r^2} V + \frac{4i}{r^2} U \right), \\ U' + \frac{1}{r} U + \frac{2i}{r} V = 0. \end{cases} \quad (5)$$

$$\begin{cases} -2\tau v_3 + w_2 = -p'_3 + \frac{1}{Re} \left( u''_3 + \frac{1}{r} u'_3 - \frac{1}{r^2} u_3 \right), \\ 2\tau u_3 + w_1 = \frac{1}{Re} \left( v''_3 + \frac{1}{r} v'_3 - \frac{1}{r^2} v_3 \right), \\ u'_3 + \frac{1}{r} u_3 = 0. \end{cases} \quad (6)$$

де  $(\cdot)' = \frac{d(\cdot)}{dr}$ .

Граничні умови:  $U(1) = 0$ ,  $V(1) = 0$ ,  $u_3(1) = 0$ ,  $v_3(1) = 0$ .

З системи (5) одержимо

$$U''' + \frac{6}{r} U'' - \frac{3}{r^2} U' - \frac{9}{r^3} U + \frac{9}{r^4} U - 2q^2 \left( U'' + \frac{3}{r} U' - \frac{3}{r^2} U \right) = \frac{4q^3 I_2(qr)}{r I_1(q)}. \quad (7)$$

Розв'язок рівняння (7) записується у вигляді

$$\begin{aligned} U(r) = & \frac{4}{\sqrt{2}qI_1(q)I_3(\sqrt{2}q)} \left( \left( \sqrt{2}I_2(q)I_3(\sqrt{2}q) - I_2(\sqrt{2}q)I_3(q) \right) r + \right. \\ & \left. + \left( I_3(q)I_2(\sqrt{2}qr) - \sqrt{2}I_3(\sqrt{2}q)I_2(qr) \right) \frac{1}{r} \right) \end{aligned} \quad (8)$$

де  $I_m(z)$  – модифіковані функції Бесселя порядку  $m$ .

Тоді для  $V(r)$  та  $P(r)$  отримаємо

$$\begin{aligned} V(r) = & \frac{2\sqrt{2}i}{qI_1(q)I_3(\sqrt{2}q)} \left( \left( \sqrt{2}I_3(\sqrt{2}q)I_2(q) - I_2(\sqrt{2}q)I_3(q) \right) r + \right. \\ & \left. + q\sqrt{2} \left( I_3(q)I_1(\sqrt{2}qr) - I_3(\sqrt{2}q)I_1(qr) \right) - \left( I_3(q)I_2(\sqrt{2}qr) - \sqrt{2}I_3(\sqrt{2}q)I_2(qr) \right) \frac{1}{r} \right) \end{aligned} \quad (9)$$

$$\begin{aligned} P(r) = & ir^2 + \frac{4ir^2(\tau-1)I_2(q)}{qI_1(q)} - \frac{4ir^2(\tau-1)I_2(\sqrt{2}q)I_3(q)}{\sqrt{2}qI_1(q)I_3(\sqrt{2}q)} + \\ & + \frac{4itI_3(q)I_2(\sqrt{2}qr)}{\sqrt{2}qI_1(q)I_3(\sqrt{2}q)} - \frac{2i(1+2\tau)I_2(qr)}{qI_1(q)} \end{aligned} \quad (10)$$

Розв'язок системи (6) має вигляд

$$u_3(r) = 0, \quad (11)$$

$$v_3(r) = -2r + 2 \operatorname{Im} \left\{ \frac{iI_1(qr)}{I_1(q)} \right\}, \quad (12)$$

$$p_3(r) = -(2\tau+1)r^2 + 2(2\tau+1) \operatorname{Im} \left\{ \frac{iI_0(qr)}{qI_1(q)} \right\} + \text{const}, \quad (13)$$

де  $\operatorname{Im}$  означає уявну частину виразу в дужках.

Сукупність формул (8)-(13) описує друге наближення для розв'язку поставленої задачі.

Для знаходження  $\vec{V}_e^{(3)}$ ,  $p^{(3)}$  отримаємо систему

$$\begin{cases} \frac{\partial u^{(3)}}{\partial \varphi} - 2\tau v^{(3)} = -\frac{\partial p^{(3)}}{\partial r} + \frac{1}{Re} \left( D''u^{(3)} - \frac{u^{(3)}}{r^2} - \frac{2}{r^2} \frac{\partial v^{(3)}}{\partial \varphi} \right), \\ \frac{\partial v^{(3)}}{\partial \varphi} + 2\tau u^{(3)} = -\frac{1}{r} \frac{\partial p^{(3)}}{\partial \varphi} + \frac{1}{Re} \left( D''v^{(3)} - \frac{v^{(3)}}{r^2} + \frac{2}{r^2} \frac{\partial u^{(3)}}{\partial \varphi} \right), \\ \frac{\partial w^{(3)}}{\partial \varphi} + u^{(2)} \frac{\partial w^{(1)}}{\partial r} + \frac{v^{(2)}}{r} \frac{\partial w^{(1)}}{\partial \varphi} - 2v^{(2)} \cos \varphi - 2u^{(2)} \sin \varphi = -\frac{\partial p^{(3)}}{\partial z} + \frac{1}{Re} D''w^{(3)}, \\ \frac{\partial u^{(3)}}{\partial r} + \frac{u^{(3)}}{r} + \frac{1}{r} \frac{\partial v^{(3)}}{\partial \varphi} + \frac{\partial w^{(3)}}{\partial z} = 0. \end{cases} \quad (14)$$

Оскільки

$$\begin{aligned} u^{(2)} \frac{\partial w^{(1)}}{\partial r} + \frac{v^{(2)}}{r} \frac{\partial w^{(1)}}{\partial \varphi} - 2v^{(2)} \cos \varphi - 2u^{(2)} \sin \varphi &= \\ &= \left( \frac{1}{2} (u_1 w_1' - u_2 w_2') + \frac{1}{2r} (v_1 w_2 + v_2 w_1) - v_1 + u_2 \right) \cos 3\varphi + \\ &+ \left( \frac{1}{2} (u_1 w_2' + u_2 w_1') + \frac{1}{2r} (-v_1 w_1 + v_2 w_2) - v_2 - u_1 \right) \sin 3\varphi + \\ &+ \left( \frac{1}{2} (u_1 w_1' + u_2 w_2') + \frac{1}{2r} (v_1 w_2 - v_2 w_1 + 2v_3 w_2) - v_1 - u_2 - 2v_3 \right) \cos \varphi + \\ &+ \left( \frac{1}{2} (-u_1 w_2' + u_2 w_1'') + \frac{1}{2r} (v_1 w_1 + v_2 w_2 - 2v_3 w_1) - v_2 + u_1 \right) \sin \varphi \end{aligned}$$

то розв'язок (14) шукатимемо у вигляді

$$u^{(3)}(r, \varphi) = 0, \quad v^{(3)}(r, \varphi) = 0, \quad p^{(3)}(r, \varphi) = 0,$$

$$w^{(3)}(r, \varphi) = w_3(r) \sin \varphi + w_4(r) \cos \varphi + w_5(r) \sin 3\varphi + w_6(r) \cos 3\varphi.$$

Тоді для визначення функцій  $W_2(r) = w_3(r) + iw_4(r)$ ,  $W_3(r) = w_6(r) - iw_5(r)$  отримаємо рівняння

$$W_2'' + \frac{1}{r} W_2' - \frac{1}{r^2} W_2 - q^2 W_2 = G(r), \quad (15)$$

$$W_3'' + \frac{1}{r} W_3' - \frac{1}{r^2} W_3 - 3q^2 W_3 = Q(r), \quad (16)$$

де

$$\begin{aligned} G(r) &= -iq^2 \left( \frac{1}{2} \left( iU\bar{W}_1' + \frac{1}{r} (V\bar{W}_1 - i(W_1 + \bar{W}_1)W_1) \right) - V - iU + i(W_1 + \bar{W}_1) \right) = \\ &= q^2 i \frac{4rI_0(\bar{q}r)}{I_1(\bar{q})} \left( \frac{I_2(q)}{I_1(q)} - \frac{I_2(\sqrt{2}q)I_3(q)}{\sqrt{2}I_3(\sqrt{2}q)I_1(q)} \right) + \frac{2q^2}{rI_1(q)I_1(\bar{q})} (I_3(qr)I_1(\bar{q}r) - \sqrt{2}qr) + \\ &\quad - 2iI_0(\bar{q}r)I_2(qr) - \\ &+ \frac{2q^2 I_1(qr)}{rI_1(q)} \left( 2r - \frac{I_1(qr)}{I_1(q)} - \frac{I_1(\bar{q}r)}{I_1(\bar{q})} \right) \\ Q(r) &= -iq^2 \left( U + iV - \frac{1}{2r} (rUW_1' + iVW_1) \right) = -4iq^2 \left( \frac{I_2(q)}{I_1^2(q)} - \frac{I_2(\sqrt{2}q)I_3(q)}{\sqrt{2}I_3(\sqrt{2}q)I_1^2(q)} \right) * \\ &\quad * I_2(qr)r - \frac{2iq^2}{rI_1^2(q)} (I_1^2(qr) - 2I_0(qr)I_2(qr)) - \frac{2iq^2 I_3(q)}{rI_1^2(q)I_3(\sqrt{2}q)} * \\ &\quad * (\sqrt{2}I_0(qr)I_2(\sqrt{2}qr) - I_1(qr)I_1(\sqrt{2}qr)) \end{aligned}$$

де  $\bar{W}_1$ ,  $\bar{q}$  – спряжені до  $W_1$  і  $q$  відповідно.

Граничні умови:  $W_2(1) = 0$ ,  $W_3(1) = 0$ .

Розв'язком рівнянь (15), (16) є функції

$$W_2(r) = l_1(r)I_1(qr) - l_2(r)K_1(qr) - \frac{I_1(qr)}{I_1(q)} (l_1(1)I_1(q) - l_2(1)K_1(q)), \quad (17)$$

$$W_3(r) = d_1(r)I_3(\sqrt{3}qr) - d_2(r)K_3(\sqrt{3}qr) - \frac{I_3(\sqrt{3}qr)}{I_3(\sqrt{3}q)} (d_1(1)I_3(\sqrt{3}q) - d_2(1)K_3(\sqrt{3}q)),$$

$$\text{де } l_1(r) = \int_0^r rG(r)K_1(qr)dr, \quad l_2(r) = \int_0^r rG(r)I_1(qr)dr,$$

$$d_1(r) = \int_0^r rQ(r)K_3(\sqrt{3}qr)dr, \quad d_2(r) = \int_0^r rQ(r)I_3(\sqrt{3}qr)dr; \quad I_m(z), \quad K_m(z) –$$

модифіковані функції Бесселя та Ганкеля порядку  $m$ .

Вид розв'язку системи рівнянь наступного четвертого наближення також визначається структурою неоднорідностей, які входять в рівняння системи. Неважко показати, що тоді

$$s(r, \varphi) = s_4(r) \cos 2\varphi + s_5(r) \sin 2\varphi + s_6(r) \cos 4\varphi + s_7(r) \sin 4\varphi + s_8(r), \quad \text{де}$$

$s(r, \varphi)$  – одна з функцій  $p^{(4)}(r, \varphi)$ ,  $u^{(4)}(r, \varphi)$ ,  $v^{(4)}(r, \varphi)$ , а осьова компонента швидкості  $w^{(4)}(r, \varphi) = 0$ . Тут випишемо тільки систему для визначення  $u_8(r)$ ,  $v_8(r)$ ,  $p_8(r)$ .

$$\left\{ \begin{array}{l} \frac{u_1 u_1' + u_2 u_2'}{2} + \frac{2v_1 u_2 - 2v_2 u_1 - v_1^2 - v_2^2 - 2v_3^2}{2r} - 2\tau v_8 + w_3 = -p_8' + \frac{1}{Re} \left( u_8'' + \frac{u_8'}{r} - \frac{u_8}{r^2} \right) \\ \frac{u_1 v_1' + u_2 v_2'}{2} + \frac{v_1 u_1 + v_2 u_2}{2r} + 2\tau u_8 + w_4 = \frac{1}{Re} \left( v_8'' + \frac{v_8'}{r} - \frac{v_8}{r^2} \right), \\ u_8' + \frac{u_8}{r} = 0. \end{array} \right. \quad (18)$$

**3. Визначення проекції на вісь циліндра моменту сил, що діють на тіло зі сторони рідини.** Визначимо осьову проекцію моменту сил, що діють на тіло зі сторони рідини, через дотичні напруження на бічній стінці

$$M_z = -\frac{2\rho c \omega^2 a^4}{Re} \int_0^{2\pi} \left( \frac{\partial v}{\partial r} + \frac{1}{r} \frac{\partial u}{\partial \varphi} - \frac{v}{r} \right) \Big|_{r=1} d\varphi.$$

Для обчислення  $M_z$  достатньо знати  $v_3'(1)$  та  $v_8'(1)$ , оскільки решта доданків перетворяться в нуль при інтегруванні

$$M_z = -\frac{4\varepsilon^2 \pi \rho c \omega^2 a^4}{Re} (v_3'(1) + \varepsilon^2 v_8'(1)).$$

Позначимо  $m_z = m_1 + \varepsilon^2 m_2$ , де  $m_1 = \frac{1}{Re} v_3'(1)$ ,  $m_2 = \frac{1}{Re} v_8'(1)$ . З (12)

$$\text{отримаємо } m_1 = \text{Im} \left\{ \frac{-2I_2(q)}{qI_1(q)} \right\}.$$

З третього рівняння системи (18) і граничної умови  $u_8(1) = 0$  отримаємо  $u_8(r) = 0$ . Тоді  $v_8'(1)$  можна знайти з другого рівняння (18). Помножимо його на  $r^2$  і проінтегруємо по  $r$  від 0 до 1. Оскільки

$$\frac{1}{2} \int_0^1 (r^2 u_1 v_1' + r u_1 v_1) dr = r \int_0^1 v_1 v_2 dr, \quad \frac{1}{2} \int_0^1 (r^2 u_2 v_2' + r u_2 v_2) dr = -r \int_0^1 v_1 v_2 dr;$$

$$\frac{1}{2} \int_0^1 (r^2 v_8'' + r v_8' - v_8) dr = v_8'(1), \text{ то}$$

$$v_8'(1) = Re \int_0^1 r^2 w_4 dr.$$

З рівняння (15)

$$W_2 = \frac{1}{q^2} \left( W_2'' + \frac{1}{r} W_2' - \frac{1}{r^2} W_2 \right) - \frac{1}{q^2} G.$$

Тоді

$$\int_0^1 r^2 W_2 dr = \frac{1}{q^2} \int_0^1 \left( r^2 W_2'' + r W_2' - W_2 - r^2 G \right) dr = \frac{1}{q^2} \left( W_2'(1) - \int_0^1 r^2 G dr \right).$$

З (17) знайдемо

$$\begin{aligned} W_2'(1) &= \left( l_1(r) - l_1(1) \right) \left( q I_0(qr) - \frac{I_1(qr)}{r} \right) - l_2(r) \left( -q K_0(qr) - \frac{K_1(qr)}{r} \right) + \\ &+ \frac{1}{I_1(q)} \left( q I_0(qr) - \frac{I_1(qr)}{r} \right) l_2(1) K_1(q) \\ i \quad W_2'(1) &= \frac{l_2(1)}{I_1(q)} = \frac{1}{I_1(q)} \int_0^1 r G(r) I_1(qr) dr. \end{aligned}$$

Для  $m_2$  отримаємо

$$m_2 = \int_0^1 r^2 w_4 dr = \operatorname{Im} \left\{ \int_0^1 r^2 W_2 dr \right\} = \operatorname{Im} \left\{ \frac{1}{q^2} \int_0^1 r G(r) \left( \frac{I_1(qr)}{I_1(q)} - r \right) dr \right\}.$$

Тоді

$$M_z = -4\varepsilon^2 \pi \rho c \omega^2 a^4 \operatorname{Im} \left\{ \frac{-2I_2(q)}{qI_1(q)} + \varepsilon^2 \frac{1}{q^2} \int_0^1 r G(r) \left( \frac{I_1(qr)}{I_1(q)} - r \right) dr \right\}. \quad (19)$$

Якщо для визначення проекції гідродинамічного моменту на вісь  $Oz$  скористатися теоремою про зміну моменту кількості руху відносно початку координат, то отримаємо

$$M_z = -4\varepsilon^2 \pi \rho c \omega^2 a^4 \left( \int_0^1 w_1 r^2 dr + \varepsilon^2 \int_0^1 w_4 r^2 dr \right). \quad (20)$$

Оскільки  $\int_0^1 w_1 r^2 dr = \operatorname{Im} \left\{ \frac{-2I_2(q)}{qI_1(q)} \right\} = m_1$  і  $\int_0^1 w_4 r^2 dr = m_2$ , то  $M_z$  із (20)

співпадає з (19). Таким чином, використання теореми про зміну момента кількості руху відносно початку координат дає змогу отримати гідродинамічний момент в більш точному наближенні, ніж побудоване поле швидкостей.

Безрозмірні  $m_1$  і  $m_2$  є немонотонними функціями числа Рейнольдса (рис. 1). Максимальні значення  $m_1$  та  $m_2$  досягаються при

$Re \approx 18,65$  та  $Re \approx 42,46$  відповідно і дорівнюють  $m_{1\max}(18,65) \approx 0,17$ ,  $m_{2\max}(42,46) \approx 0,13$ . На рис. 2 зображене  $m_z(Re)$  при  $\varepsilon = 0,1$ .

Формулу (19) можна спростити для великих та малих чисел Рейнольдса, використовуючи асимптотичні подання модифікованих функцій Бесселя та Ганкеля для великих та малих аргументів [5]. Тоді для великих  $Re$  отримаємо

$$Re \gg 1: M_z = -\frac{2\sqrt{2}\varepsilon^2\pi\rho c\omega^2 a^4}{\sqrt{Re}} \left(1 + \varepsilon^2 \frac{5\sqrt{2} + 12}{15}\right).$$

Для малих  $Re$  доданок  $m_1$  пропорційний  $Re$ , а  $m_2$  пропорційний  $Re^3$ . Тому для малих  $Re$  отримаємо

$$Re \ll 1: M_z = -\frac{\varepsilon^2\pi\rho c\omega^2 a^4 Re}{12}.$$

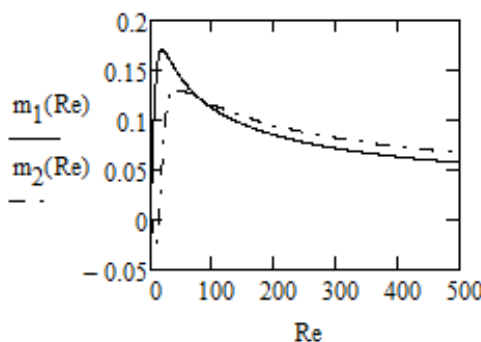


Рис. 1. Залежність  $m_1$  і  $m_2$  від  $Re$

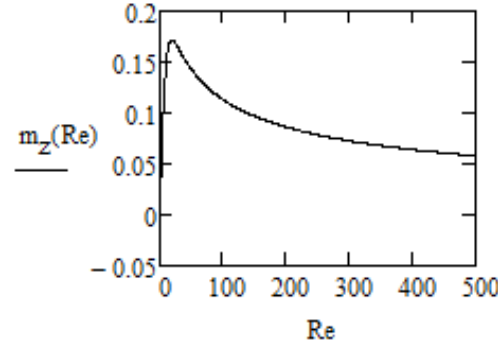


Рис. 2. Залежність  $m_z$  від  $Re$  при  $\varepsilon = 0,1$

Таким чином побудовано вищі наближення розкладу за малим параметром розв'язку задачі визначення усталеного відносного руху в'язкої нестисливої рідини, яка повністю заповнює циліндричну посудину, що здійснює регулярну прецесію з малим кутом нутації і/або з малим відношенням кутової швидкості прецесії до кутової швидкості власного обертання. Осьова компонента швидкості  $w$  є ненульовою в першому та третьому наближеннях, радіальна  $u$  та азимутальна  $v$  компоненти швидкості є ненульовими в другому та четвертому наближеннях для розв'язку нелінійних рівнянь Нав'є-Стокса. Для обчислення проекції на вісь циліндра моменту в'язких сил через дотичні напруження на бічній стінці лише неперіодична складова азимутальної компоненти швидкості є суттєвою. Отримано також формулі для гальмуючого моменту у випадку великих та малих чисел Рейнольдса.

*Література*

1. Miller M.C. Flight instabilities of spinning projectile having nonrigid payloads / M.C. Miller // Journal of Guidance Control and Dynamics. – 1982. – V.5, № 2. – P. 151-157.
2. Herbert T. Viscous fluid motion in a spinning and nutating cylinder / T. Herbert // Journal of Fluid Mechanics. – 1986. – V. 167. – P. 181-198.
3. A rotating fluid cylinder subject to weak precession / P. Meunier, C. Eloy, R. Lagrange, F. Nadal // Journal of Fluid Mechanics. – 2008. – V. 599. – P. 405-440.
4. Казмерчук И.М. Движение вязкой несжимаемой жидкости в прецессирующем цилиндре / И.М. Казмерчук // Вестник МГУ. Математика. Механика, 1992. – №2. – С. 93-96.
5. Янке Е.Специальные функции. Формулы, графики, таблицы / Е. Янке, Ф. Эмде, Ф. Леш. – М.:Наука, 1977. – 342 с.

*Стаття надійшла до редакційної колегії 29.05.2018 р.*

*Рекомендовано до друку д.т.н., проф. **Мойсишиним В.М.**,  
к.т.н., доцентом **Левчук К.Г.** (м. Київ)*

## INFLUENCE OF THE VISCOUS FILLING ON A MOTION OF THE PRECESSING VESSEL

**I. M. Gural<sup>1</sup>, I. A. Nakvasiuk<sup>2</sup>**

<sup>1</sup>*Ivano-Frankivsk National Technical University of Oil and Gas;  
76019, Ivano-Frankivsk, Carpatska Str., 15; e-mail: math@nung.edu.ua*

<sup>2</sup>*Taras Shevchenko National University of Kyiv;  
01033, Kyiv, Volodymyrska Str., 64; e-mail: nakvasiuk.iuliia@gmail.com*

*The problem for determining the steady relative motion of a viscous incompressible fluid entirely filling a long cylindrical vessel executing regular precession with a small angle of nutation and / or with a small ratio of the angular precession velocity to the angular velocity of spin about the cavity axis is considered. Higher approximations of the expansion in a small parameter of the solution of the nonlinear Navier-Stokes equations and of the projection on the axis of the cylinder of the moment of the forces exerted by fluid on the lateral surface of the vessel are obtained.*

**Key words:** *viscous incompressible fluid, regular precession.*